

ディスク・キャッシュ装置のシミュレーション

菅 隆 志 ・ 上 田 尚 純

(三菱電機 K.K. 計算機研究部)

1. ま え が き

計算機システムの高速度をはかるうえで、大きな障害となる要因のひとつが、ディスク・アクセス動作の機械的な遅さである。即ち、最近の計算機の1次記憶（主記憶）のアクセス時間（数百 ns）と2次記憶（磁気ディスク）のアクセス時間（数十 ms）の間には約 10^5 のアクセス・ギャップがある。特に、大容量データを高速に処理することが要求されるシステムでは、このギャップをいかにしてカバーするかが大きな課題となっている。

この問題の解決策として、CPU—主記憶間に置かれる高速バッファ（メモリキャッシュ）と同様に、主記憶—ディスク間にもアクセス速度が速いバッファ（例えば CCD）を設ける方式が考えられている。これは、アクセス頻度が高い情報をこのバッファ上に置くことにより、結果的に、ディスクに対する見かけ上のアクセス速度を向上させようというものである。このための装置をディスク・キャッシュ装置と呼んでいる。

記憶の階層化の一般的な例を図1に示す。ここで、メモリ・キャッシュ及びディスク・キャッシュは、それぞれ、主記憶とディスクに対する高速バッファであり、いずれの場合も、そのアクセス動作に局在性（Locality）がある事を利用している。即ち、ある時間幅で見ると、アクセスの大部分が記憶領域のある部分に集中する傾向がある。

しかし、メモリ・キャッシュの効果が主記憶上のプログラムやデータの局在性に依存するのに対して、ディスク・キャッシュの効果は、様々な構成とアクセス法を持ったファイルへのアクセス動作の特性により決定される。

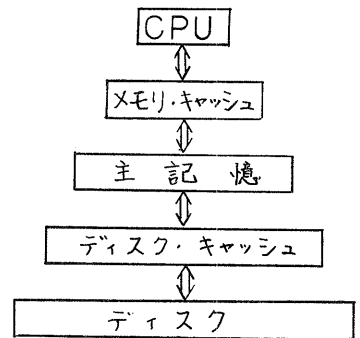


図1 記憶の階層化

本報告では、MELCOM-COSMO 700 システムにおけるディスク・アクセス動作の実測データを使って、これらの動的特性を明らかにし、さらに、ディスク・キャッシュ装置のシミュレーションを行い、その効果と構成方法について検討を行なう。

2. 基本モデル

2.1 構成

ディスク・キャッシュ装置は、キャッシュ・メモリとキャッシュ制御部から構

成される。(図2 参照)

キャッシュ・メモリ(以後CMと呼ぶ)は固定長のブロック単位に分割されていてこのブロック単位にディスク・データのコピーを保存する。

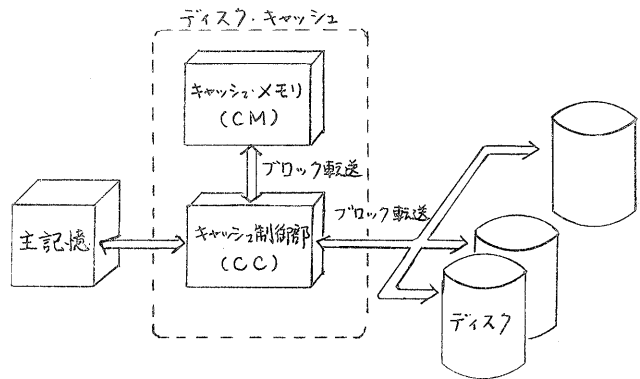


図2 ディスク・キャッシュ・モデル

キャッシュ制御部(以後CCと呼ぶ)は、ディスク・キャッシュ装置の動作を制御する。CCでは、ディスクのブロックとキャッシュ・メモリ上のブロックとの対応関係を記したキャッシュ・テーブルを持ち、これを管理しており、適当なアルゴリズム(LRU, FIFOなど)によってテーブルの内容を更新する。

ディスクに対するすべてのデータは、CC内にある転送バッファを経由する。また、CCは、ブロック/デブロック機能を持ち、 $CC \leftrightarrow CM$ 、 $CC \leftrightarrow$ ディスク間のデータ転送はすべてブロック単位で行われる。

2.2 動作

ディスク・キャッシュ装置の動作を SEEK, READ, WRITE について簡単に述べておく。

SEEK — READ, WRITE 命令の前には必ずSEEK コマンドが出され、SEEK 情報(ユニット, シリンダ, ハッド, セクタの番号)がディスク側へ送られてくるが、ディスク・キャッシュでは、ブロック単位でデータを扱うため、この情報をもとに、要求されたデータを含むブロック番号を計算する。

READ — READ コマンドが出されると、CCは、要求されたデータがキャッシュ・テーブル上にエントリされているかどうかを探す。

テーブル内にブロック番号がエントリされている場合(ヒットと呼ぶ)には、そのデータを含んだブロックが、CC内のバッファにとり出され、これを主記憶へ送る。この時、もし更新アルゴリズムとしてLRU(Least Recently Used)アルゴリズムを使用した場合(今後は、これを仮定する)要求されたデータを含むブロックはLRUスタックの最上位にくる。(図4参照)

WRITE — WRITE 動作については、アクセスの高速化やデータの信頼性などにより、いくつかの方法が考えられるが、ここでは、Store through モードと Store after モードの2つのモードを設定する。

Store through モードでは、書きこみデータは、直接ディスクへ書きこまれ、もしキャッシュ内に対応するブロックがあれば、これを更新する。こ

のモードでは、WRITE動作に関しては、ディスク・キャッシュによる効果は得られない。

Store after モードでは、書きこみデータは、まずキャッシュ・メモリに書きこまれる。この場合、キャッシュ・メモリ内に対応するブロックがあればその内容が更新され、なければ新しくエントリされる。これらのデータは、キャッシュの更新アルゴリズムにより、キャッシュ・メモリから追い出される時にディスクへ書きこまれる。(本報告内では、特に断らない限りこのモードを仮定する。)

3. シミュレーション

3.1 概要

シミュレーション全体の概要を図3に示す。シミュレーションにあたっては、システム全体に対する評価が行えるように考慮してあり、また、大量の実測データを入力して処理するため、高速化、汎用化を心がけている。

シミュレーションは、大きく5つの作業からなり、各々の概要を以下に示す。

(a) データ収集部

実測システムのディスク・アクセス動作の詳細なデータを収集する。ハードウェア・モニタによる方法とソフトウェア・モニタによる方法の2通りで行った。

(b) 前処理部

上記2通りのデータ収集法では、フォーマットが異なり、これを標準のフォーマットに変換する。さらに次のシミュレータ部でくり返される処理を前処理しておく。高速化を心がける。

(c) シミュレータ部

ディスク・キャッシュの属性をパラメータとして与えてやることにより、様々なタイプのキャッシュのシミュレーションを行う。また同時に、ディスク・アクセス動作の分析、統計も行える。

シミュレーションでは、LRUスタックの動作を忠実にを行う(図4参照) LRUスタックモードと高速に実行を行うハッシングモードとがある。

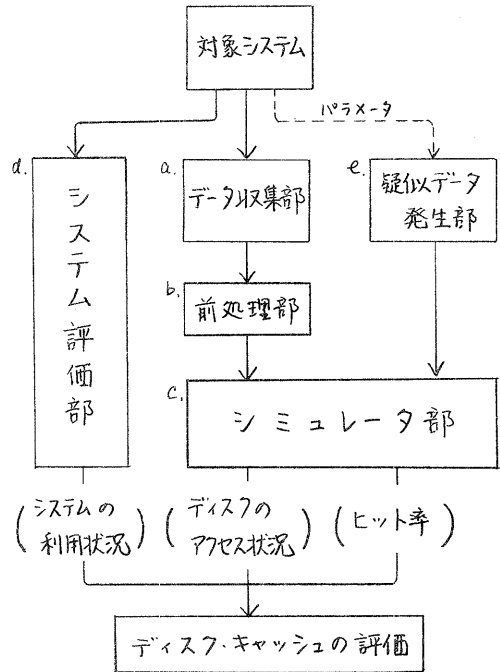
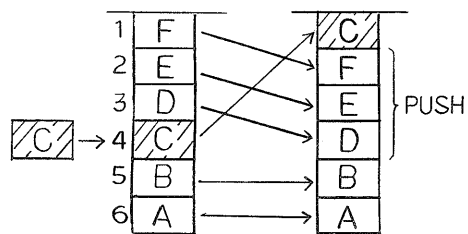


図3 シミュレーションの概要

LRUスタックモードはシミュレーションの初期パラメータを見つける上で重要である。このモードでシミュレーションを行うと、実行速度はかなり遅くなるが、ディスク・アクセスの動的特性(特に、アクセスの局在性)を明確に表現することができる。これにより、キャッシュの最適構成をある程度

予測でき、従って、シミュレーションの試行回数をかなり軽減することができる。

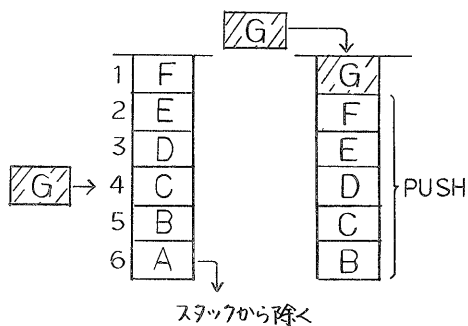
高速ハッシュモードは、上記のモードによって得た結果をもとに、種々のパラメータにより試行をくり返し、その度にヒット率を算出し、最適なキャッシュの構成を見出すためのモードである。このため、特殊なオープンハッシュと2方向リンクを用いた高速な実行が行えるようになっている。



(a) ヒットした場合
(スタックの4番目がヒット)

(d) システム評価部

シミュレーション結果から、ディスク・キャッシュがシステム全体に与える効果を定量的に評価するために、データ収集時のシステムの状況を十分にとらえておくことが重要である。このために、即座のシステム管理プロセッサにより、ユーザの状況とシステムの状況をとらえておく。



(b) フォルトの場合

(e) 疑似データ発生部

ここでは、2通りの使用方法がある。ひとつは、シミュレータのテスト用のデータ生成に使い、もうひとつは、任意の特性を持たせた疑似データの発生に使用する。特に、最悪状況や特殊状況でのシミュレーションに使用できる。

図4 LRUスタックの動作

3.2 対象システム

本報告では、利用形態が少しずつ異なる3つのシステムについてデータを収集し、シミュレーションを行っている。それぞれの主な特殊を表1に示す。

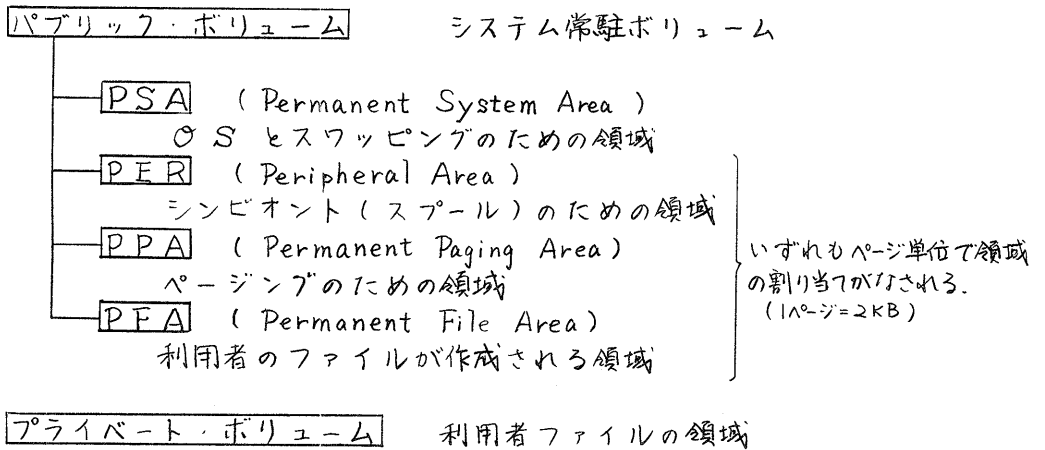
いずれもオンラインとバッチユーザのサービスを行っている MELOM-COSMO 700 システム (モニタはUTS/VIS) である。データの収集は、センターのフロア業務の時間帯を選び、どのシステムも、平均して、オンラインユーザ7~12、バッチジョブ1~3が常時並列して実行されている。いずれもディスクの総容量は680 Mバイト、主記憶は128 KWのシステムである。

	システム A	システム B	システム C
主な特徴	<ul style="list-style-type: none"> ・TSSによるプログラム開発のユーザ主体 ・スワップの回数が比較的多い。 	<ul style="list-style-type: none"> ・システム A とほぼ同じであるが、モニタにダイヤモンドページング機能を追加。 	<ul style="list-style-type: none"> ・データベース (EDMS) による業務が主体

表1 対象システムの主な特徴

3.3 対象システムのファイル構成

UTS/V Sでは、ディスク・ファイルは次のように分類されている。



4. シミュレーション結果

4.1 ヒット率の定義

まず、キャッシュのヒット率として、次の2通りを定義しておく。

オーダー・ヒット率 — 全I/Oオーダーに対して、ヒットしたオーダーの割合を示す。
ただし、1つのオーダーで複数ページ (1ページ=2KB) の転送要求がある場合に、1ページでもキャッシュ内になればフォルトとみなす。

ページ・ヒット率 — オーダー毎にそのページ長を蓄積して出したヒット率。
即ち、要求されたすべてのページに対する、ヒットしたページの割合を示す。

4.2 容量 — ヒット率

キャッシュの容量の増加に伴う、ヒット率の向上を図5に示す。ブロックサイズにもよるが、ページ・ヒット率は容量が2Mバイトの時に約95%となりほとんど飽和する。また、オーダー・ヒット率は、4Mバイトで約80~90%となり飽和する。

ページ・ヒット率がオーダー・ヒット率に比べ高い理由は、後述するように、PSA領域のスワップのヒ

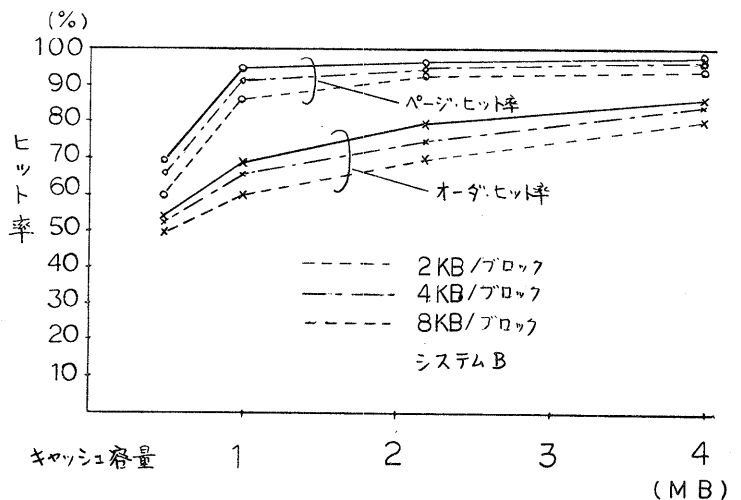


図5 キャッシュ容量 — ヒット率

ット率が非常に高いことによる。

ヒット率が 1Mバイトから4Mバイトの間で飽和してしまう理由は、図6から明らかになる。このグラフは、LRUスタック・モードでシミュレーションを行った結果である。I/O要求がヒットした場合、それがLRUスタックのどの深さでヒットしたのかをカウントして、その確率分布と分布関数を示している。

このグラフはシステムBの例であるが、いずれのシステムを見ても、ヒットしたデータの95%以上は、スタックの深さが500(容量としては1MB)までプッシュされる以前に再びアクセスされている。

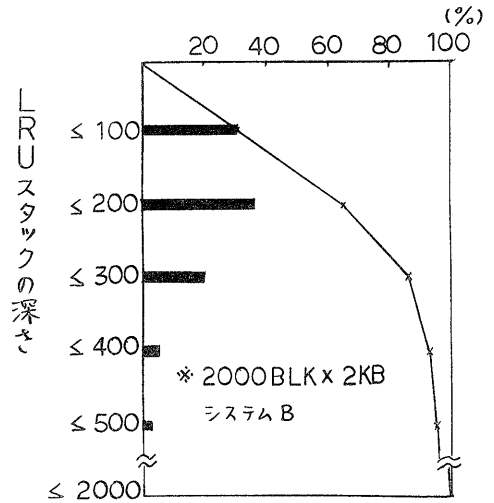


図6 LRUスタックにおけるヒット位置の確率分布と分布関数

4.3 ブロックサイズ — ヒット率

キャッシュ・メモリとディスク間ではブロック単位のデータ転送がなされるが、ブロックサイズの決定にあたっては、ディスク上に、ファイルがどのように配置されるのが問題となる。

本報告の対象システムのモニタUTS/VSでは、ファイル管理により、様々なファイルの割り付けがなされるが、その多くはページ単位に分割され、その時点で最適な割り付けを行う。従って、ディスク上では、ファイル領域の多くは、不連続な、ページ単位の配置となっている。

このため、図5に一例を示してあるように、ブロック・サイズを数ページにすることは、(キャッシュの容量が一定の場合)むしろ余分なデータをキャッシュ内に置く結果となり、ヒット率は低下する。

4.4 各システムのヒット率

各システムのヒット率を表2に示す。システムCは、データベース主体の業務を行っており、A、Bに比べて、ヒット率がやや低い。これは、A、Bのシステムでは、スワッピングやページングの割合が多いのに対し、Cでは、データベースで使用されるプライベート・ボリュームへのアクセスが多いためである。(表3参照)

システム	A	B	C
ページヒット率	98.5%	98.2%	95.1%
オーダヒット率	89.1%	89.6%	83.5%

* 2000BLK x 2KB/BLK

表2 各システムのヒット率

4.5 ファイル領域別のヒット率

各ファイル領域別のアクセス特性を知るため、それぞれ個別のファイル領域へのアクセスだけをとり出してシミュレーションを行った。その結果例を表3と図7に示す。

以下、各ファイル領域別に検討する。

PSA領域

ヒット率は 96~99% となる。これは、この領域内に、非常に頻りにアクセスが行われる OS の領域と、スワッピングのための領域が存在するためである。さらに図7を見ると他の領域が指数分布に近い分布を持つものに対し PSA については、アーラン分布に近いものとなっている。これは、スワップ領域が様々なデータ長のスワッピングに使われるためと考えられる。

PFA領域

各ユーザの利用方法に大きく影響を受ける。多くのユーザがプログラムの開発を行っているようなシステム B よりも、データベース業務が主体であるシステム C の方がヒット率は高くなっている。

PPA領域

ヒット率は 95% 以上であり、しかもすべてページ単位の転送であるため、ディスクキャッシュによる効果が非常に大きい。ページングのためのシステムのオーバーヘッドは、これにより大幅に減少すると思われる。

PER領域

スプールデータは、基本的には FIFO で処理され、また、場合によっては、長時間シンビオン領域に大量のデータがとどまることもある。このため、ヒット率はその時の状況によりかなり変化するが、LRU アルゴリズムを使用している限り、ヒット率はそれ程上がらない。

プライベート領域

データベースの処理で使用するデータが大部分を占めており、約 60% のヒット率しか得られない。また、図7のように、この領域へのアクセスがヒットする時には、その大部分はかなり短い周期でアクセスが行われている。

以上のように、ファイル領域別にそのアクセスの動的特性はかなり異なっていることがわかる。前述したシステムのヒット率は、これらのファイルアクセスが複雑に重なり合ったものと考えることが出来る。

また、これらのファイル領域別にディスク・キャッシュの制御を変えることにより、いっそう効果的な利用法が考えられる。

	(%)	
	システム B	システム C
PSA	99.6	96.6
PFA	78.9	91.1
PPA	95.3	—
PER	84.9	74.7
プライベート	61.4	60.0

* 2000BLK x 2KB/BLK

表3 ファイル領域別ヒット率

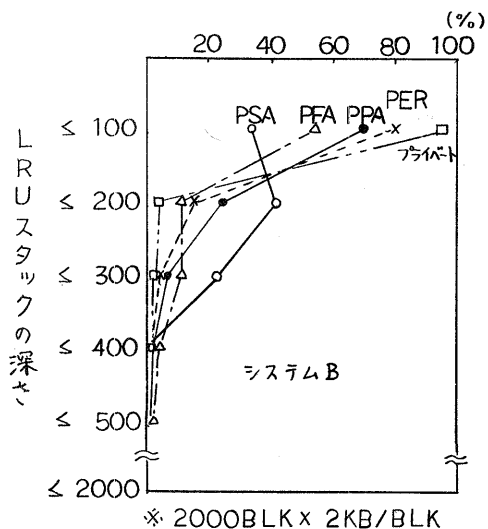


図7 LRUスタックにおけるヒット数の確率分布と分布関数

4.6 バイパス・モード

ディスク・キャッシュの利点、アクセス速度がディスクのそれに比べて速い事であり、転送速度には大差がない。このためスワップなどの長いデータに対してはキャッシュをバイパスさせ、その分だけ他の短いデータをキャッシュにエントリしておく方法が考えられる。

例えば スワッピングの対象となるデータをすべてバイパスさせた場合、シミュレーションで、ヒット率は約10%低下した。これはスワッピングのデータのヒット率がその他のデータのヒット率より高かったためと思われる。

しかし、データの転送時間も考慮に入れた場合のスループット（アクセス時間+転送時間）の向上率は、バイパスモードの方がやや優る。（図9参照）

4.7 Store through モード

本報告ではこれまで Store after モードを仮定してきたが、ヒットしたオーダーを調べてみると、その75~85%が READ であった。これは、ひとむと I/O 要求全体の70~80%が READ であるため

あるが、この値と比較して、READ の方がヒット率が高いと考えられる。これらの点をけっさりさせるために2.2で定義した Store through モードでのシミュレーションを行った。この場合、WRITE 時にヒットして、必ずディスクに書きこむため、速度的には利点はなく、従ってこのモードでは、READ 要求に関してだけのヒット率を考える。

シミュレーションによると システム B において、キャッシュが 1000 ブロック x 2 KB の場合、オーダー・ヒット率が 84.1%、ページ・ヒット率が 97.5% であった。これは、Store after モードの結果（前者が 82.2%、後者が 98.4%）と比べると若干良くなるが、ほとんど変わらない。

しかし、LRU スタックのヒット位置の分布を見ると、図8に示すように、かなり分布が異なり、Store after の方が、より浅い位置でアクセスがヒットしていることがわかる。これは、同一場所に対しての WRITE と READ が、続いて起こる場合が多いためである。

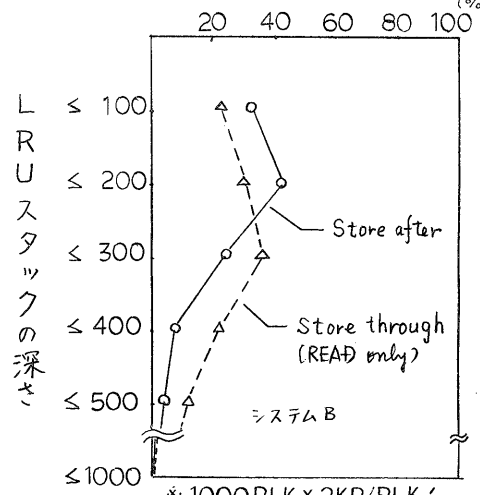


図8 Store through モードと Store after モード

4.8 スループット

ディスク・キャッシュ装置の効果を考える場合、ヒット率と共に重要な事は、ディスク・キャッシュ装置をつけることによって、（アクセス時間+転送時間）がどれ位向上するかと言うことである。

ここで、ディスク・キャッシュ装置を使用した場合の（アクセス時間+転送時間）の期待値 T^* は、次式によって求まる。

$$T^* = H \times (CA + HL / CT + \alpha) + (1 - H) \times (DS + DL + FL / DT + \beta) \quad (\text{式 1})$$

ここで

- | | |
|---|--|
| H ; キャッシュのヒット率 | DS ; ディスクの平均シーク時間 [†] |
| CA ; キャッシュの平均アクセス時間 [†] | DL ; ディスクの平均回転待ち時間 [†] |
| CT ; キャッシュの転送速度 [†] | DT ; ディスクの転送速度 [†] |
| HL ; ヒットしたデータの平均データ長 | FL ; フォルトのデータの平均データ長 |
| α ; ヒットした場合のオーバーヘッド [‡] | β ; フォルトの場合のオーバーヘッド [‡] |

(注) †これらの値は、キャッシュ又は、ディスクの装置により定まる定数

‡ α, β はキャッシュテーブルのサーチ、更新などによるオーバーヘッドであるが、ハッシングなどの手法を用いることにより、近似的には無視できる。

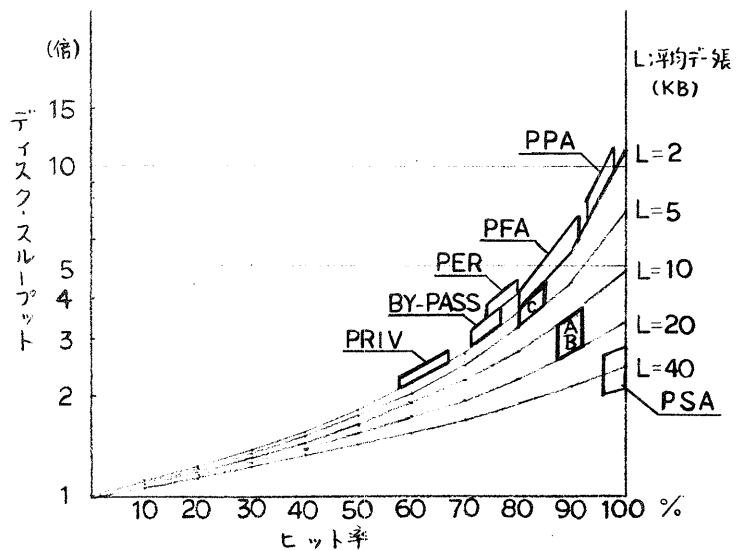
上式を使って、ディスク・キャッシュを用いることによる、ディスクのI/Oスループットの向上率を知ることが出来る。

例として、 $CA=2ms$ 、 $CT=1200KB/S$ のキャッシュと、 $DS+DL=38ms$ 、 $DT=806KB/S$ の磁気ディスクを使用した場合を図9に示す。ここで、縦軸は、キャッシュを使用しない時の(アクセス時間+転送時間)の期待値 T と上記の T^* との比 T/T^* を示している。この値は、高負荷時にディスク・キャッシュを使用することによる、I/Oスループットの向上の度合を表している。この例では、ブロック・サイズは2KBとし、簡略化のため、HLとFLを近似的に等しいとみなし、これをLとしている。このLとヒット率Hは、シミュレーションの結果を使用する。(2000ブロック×2KB/ブロック構成)

図9において、ファイル領域名が記されている部分は、そのファイル領域へのアクセスだけにキャッシュが使用され、しかもそれが高負荷である場合のディスクのスループットの向上率を示している。

また、対象とした3つのシステムにディスク・キャッシュを使用し、しかもディスクに対する負荷が高い場合の、ディスク・スループットの向上度をA,B,Cで示している。これによると、システムA,Bで2.5~3倍、システムCでは3.5~4倍となる。

さらに、この結果と、データ収集時のシステムの稼働状況から、システ



* 2000BLK x 2KB/BLK
図9 ディスク・スループットの向上 (高負荷時)

ム全体に対する効果を知ることが出来る。 図9の値を用いると システム全体のスループットは、高負荷時には、いずれのシステムも 1.24~1.32 倍になることが期待できるという結果が出た。

5. ま と め

本報告では、階層記憶の構成上重要視されている ディスク・キャッシュ装置のシミュレーションを行い、その効果と構成法を検討した。

主な特徴は

- (i) 利用形態が異なる3つのシステムに対して、ディスク・アクセス動作のデータを収集し、この実測データによりシミュレーションを行った。
- (ii) LRUSTACKを利用することにより、単にヒット率だけにとどまらず、ディスク・アクセス動作の動的特性を明確にすることができた。
- (iii) ファイル領域別にシミュレーションを行ったことにより、各ファイル領域へのアクセスの動的特性の相違を明らかにした。

主な結論として、

- (i) キャッシュ容量が 全ディスク容量の 0.5%程度で、ヒット率はほとんど飽和し、ページ・ヒット率は 94~97%、オーダ・ヒット率は 78~83%であった。
- (ii) 各ファイル領域へのアクセス動作は、それぞれ異なる特性を持っており、領域別にキャッシュの効果が異なる。そこで、これらの特性をふまえたディスク・キャッシュの構成法が重要となる。
- (iii) 対象とした3つのシステムにおいて、十分な容量のキャッシュを持たせることにより、高負荷時に、ディスクのI/Oスループットは 2.5~4倍に、またシステム全体では、1.25~1.3 倍の向上が望める。

なお、本報告では、MELCOM-COSMO 700 システムの3つのシステムのみを対象としたが、ディスク・アクセスの特性は、OSのファイル管理方法、システムの構成、さらに、ユーザの利用状況などによって、かなり異なるものと思われる。従って、今後さらに、他のシステムに対して、同様のシミュレーションを行うことが必要であると思われる。

(謝 辞)

本研究の機会を与えていただき、熱心な議論をしていただいた、計算機研究部 飯川主任研究員と、データ収集などで協力していただいた計算機製作所内の方々に深く感謝の意を表します。

(参考文献)

1. Memorex 3770 ディスク・キャッシュ資料
2. "Operating Systems Theory" by E.G. COFFMAN, P.J. DENNING 1973